

Поступило в Редакцию  
28 августа 1989 г.

Письма в ЖТФ, том 15, вып. 23

12 декабря 1989 г.

04; 11

О МЕХАНИЗМЕ ФЛУКТУАЦИЙ ПРЕДПРОБОЙНЫХ ТОКОВ  
В ВАКУУМНЫХ ПРОМЕЖУТКАХ  
С ПЛОСКОПАРАЛЛЕЛЬНЫМИ МЕТАЛЛИЧЕСКИМИ  
ЭЛЕКТРОДАМИ

С.В. Пузанов, В.А. Хара,  
Ю.М. Яшинов

1. Известно, что предпробойные токи вакуумных промежутков, имеющие в основном автоэмиссионную природу [1], не постоянны во времени, а флуктуируют с частотами до 1 МГц. Вопрос о механизме этих флуктуаций имеет научный и практический интерес для исследований электрической прочности вакуумных промежутков электровакуумных приборов. Прямое оптическое или электронно-микроскопическое наблюдение в зазорах с плоскими металлическими электродами эмиттирующих микроавтоэмиттеров с характерными размерами эмиттирующих поверхностей менее 0.1 мкм не представляется возможным, поэтому для экспериментальных исследований процессов на поверхности электродов необходимо применять косвенные методы.

В данной работе впервые для плоскопараллельных вакуумных промежутков с металлическими электродами сделана попытка с помощью спектральных характеристик флуктуаций предпробойных токов выделить основные механизмы этих флуктуаций.

2. При постановке эксперимента руководствовались следующими соображениями.

Найдем зависимость спектральной плотности мощности флуктуаций предпробойных токов  $G_f$  на данной частоте  $f$  от среднего значения предпробойного тока  $I_0$ . Раскладывая в ряд Тейлора формулу Фаулера-Нордгейма [1] для малых относительных флуктуаций предпробойного тока  $\Delta I/I_0$ , получаем:

$$\frac{\Delta I}{I_0} = \frac{\Delta S}{S_0} + \left(2 + \frac{B_0 \varphi_0^{3/2}}{E_0 \mu_0}\right) \frac{\Delta M}{M_0} - \left(1 + \frac{9.5}{2\sqrt{\varphi_0}} + \frac{3}{2} \frac{B_0 \varphi_0^{3/2}}{E_0 \mu_0}\right) \frac{\Delta \varphi}{\varphi_0}, \quad (1)$$

где  $S_o$ ,  $\varphi_o$ ,  $M_o$  — средние значения эффективной площади эмиссии, работы выхода, эВ, и коэффициента усиления электрического поля на эмиттирующей площадке соответственно,  $E_o$  — среднее (макроскопическое) поле в зазоре, соответствующее  $I_o$ ,  $B_o$  — константа.

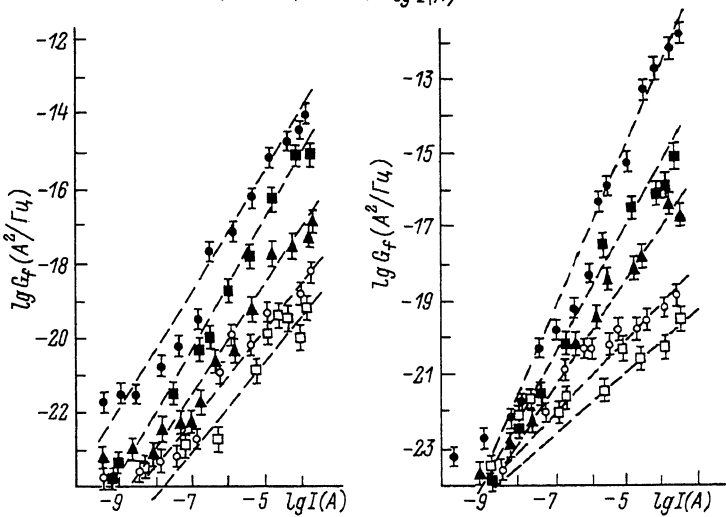
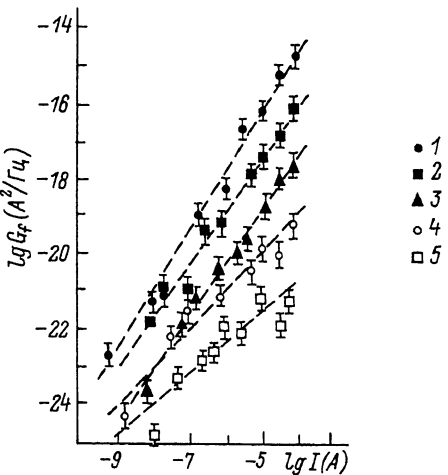
Линейное разложение справедливо до значений  $E_o M_o \approx 10^8$  В/см, т.к. сомножители перед  $\frac{\Delta M}{M_o}$  и  $\frac{\Delta \varphi}{\varphi_o}$  больше 10, поэтому при малых, менее 20 %, относительных флюктуациях предпробойного тока, обычно регистрируемых в экспериментах, относительные флюктуации  $\varphi$  и  $M$  можно считать на порядок меньшими — менее 1 %. Относительные флюктуации  $\delta$  по порядку величины равны относительным флюктуациям  $M$ , но их влияние, как следует из (1), на порядок меньше, и в дальнейшем учитываться не будет. Выражение (1) справедливо для одного или нескольких одинаковых микроавтоэмиттеров, однако для плоских металлических электрородов небольшой площади оно применимо, поскольку подавляющая часть регистрируемого тока эмиттируется одним или несколькими наиболее активными эмиттерами с близкими эмиссионными характеристиками [1].

Рассмотрим вид зависимости  $G_F(I_o)$  для различных физических механизмов флюктуаций тока.

Пусть основной причиной флюктуаций предпробойного тока является ионная бомбардировка. Поскольку флюктуации  $\varphi$  и  $M$  малые, их можно считать пропорциональными флюктуациям потока ионов. Если поток ионов на эмиттирующую площадку принять равным  $N$ , то флюктуации  $\Delta M$  и  $\Delta \varphi (M_o, \varphi_o = const)$ , очевидно, пропорциональны  $\sqrt{N}$  на частотах, меньших частоты попаданий ионов в эмиттирующую площадку. Так как  $N$  пропорционален  $I_o$  (бомбардирующие ионы образуются в автоэлектронном пучке [3]), и  $E_o$  в экспериментах обычно меняется не более чем в 2 раза, то для флюктуаций, вызванных ионной бомбардировкой, как следует из (1),  $G_F$  должна быть пропорциональна  $I_o^3$ .

Предположим теперь, что флюктуации параметров микроавтоэмиттера пропорциональны флюктуациям миграционных потоков на поверхности микроавтоэмиттера, причем сами потоки линейно зависят от поверхностных градиентов температуры  $\vec{V}_S T$ , электростатического

давления  $\vec{V}_S \left( \frac{E_o^2 M_o^2}{8\pi} \right)$  и сил поверхностного натяжения [4]. Без учета эффекта Ноттинггама  $\vec{V}_S T$  пропорционален  $I_o^2$ , а с учетом его у вершины микровыступа  $\vec{V}_S T$  пропорционален  $I_o$ . Следовательно, если флюктуации параметров микроавтоэмиттера обусловлены градиентом температур, то  $G_F$  должна быть пропорциональна  $I_o^4$  без учета эффекта Ноттинггама и  $I_o^3$  с учетом его. Изменение коэффициента диффузии из-за повышения температуры микроавтоэмиттера при росте тока не учитывается, поскольку, как показывают расчеты [1], при токе, в 3–4 раза меньшем предельного для данного микроавтоэмиттера, это повышение температуры не превышает единиц °C.



Зависимости спектральной плотности мощности флюктуаций предпробойных токов  $G_f$  от среднего значения предпробойного тока  $I_0$  в вакуумных промежутках с медными (а), молибденовыми (б) электродами и электродами из нержавеющей стали (в) на частотах 30 Гц (1), 300 Гц (2), 3 кГц (3), 30 кГц (4) и 100 кГц (5).

Для потока под действием  $\vec{V}_s \left( \frac{E_0^2 \mu_0}{8\pi} \right)$ , который при  $\mu_0 = \text{const}$  не зависит от  $I_o$ ,  $G_f$  должна быть также пропорциональна  $I_o^2$ .

Если флуктуации предпробойных токов вызваны сорбционными процессами, интенсивность которых не зависит от  $I_o$  (зависимость коэффициента адсорбции от  $E_0$  не учитываем в силу небольшого диапазона изменения  $E_0$ ), тогда  $G_f$  должна быть пропорциональна  $I_o^2$ .

3. Регистрация  $G_f$  проводилась в диапазоне частот от 30 Гц до 200 кГц и диапазоне токов от 1 нА до 200 мкА. Исследовались вакуумные промежутки длиной 0.3 мм с плоскими электродами диаметром 15 мм из меди, нержавеющей стали и молибдена, поверхность которых обрабатывалась различными способами, применяемыми в электровакуумном приборостроении. Электроды обезгаживались в вакууме не хуже  $10^{-6}$  тор при температуре 650 °C в течение 5 часов.

Высокое напряжение на промежуток подавалось с управляемого по первичной цепи высоковольтного выпрямителя Ларинова. Значения  $G_f$  измерялись анализатором С4-34 с предусилителем с входным сопротивлением 100 МОм, собранным на полевом транзисторе КП303А по схеме с общим истоком [5], который обеспечивал чувствительность измерений  $G_f$  не хуже  $10^{-25}$  А<sup>2</sup>/Гц.

Типичные зависимости  $G_f(I_o)$  приведены на рис. 1. Как следует из графиков, в указанных диапазонах частот и средних значений предпробойных токов  $G_f$  пропорциональна  $I_o^\alpha$ , где  $\alpha$  находится в пределах от 1 до 2.

Отметим, что вольт-амперные характеристики (ВАХ) предпробойных токов, построенные в координатах Фаулера-Нордгейма, ложились на прямые линии с абсолютным значением коэффициента корреляции 0.98–0.99. Из этого следует, что в процессе снятия зависимостей  $G_f(I_o)$  значения  $\varphi_0$  и  $\mu_0$  изменялись слабо.

4. Таким образом, основными механизмами, вызывающими флуктуации предпробойных токов в плоских вакуумных промежутках с металлическими электродами, являются поверхностная диффузия под действием градиента электростатического давления и (или) поверхностного натяжения и (или) сорбционные процессы на поверхности микроавтоэмиттера. Снижение показателя  $\alpha$  на высоких частотах можно объяснить тем, что данная область частот находится выше характерной частоты элементарных актов диффузионных перескоков атомов и (или) актов адсорбции и десорбции атомов на эмиттирующей площадке. Кроме того, возможно влияние высокочастотных помех, особенно при измерении  $G_f$  на малых значениях  $I_o$ .

Сделанные выводы обладают достаточной общностью относительно материалов электродов, т.к. материалы исследованных электродов перекрывают широкий диапазон физико-химических свойств металлов, применяемых в электровакуумном приборостроении.

#### Список литературы

- [1] Сливков И.Н. Процессы при высоком напряжении в вакууме. М.: Энергоатомиздат, 1986. 256 с.

- [2] Месяц Г.А., Проскуровский Д.И. Импульсный электрический разряд в вакууме. Новосибирск: Наука, 1984. 256 с.
- [3] Невровский В.А., Ярославский В.Н. // Радиотехника и электроника. 1988. Т. 22. В. 4. С. 808-813.
- [4] Dyke W.P., Charbonier F.M., Strayer R.W., Floyd R.L., Barbour J.P., Trolan J.K. // J. Appl. Phys. 1960. V. 5. N 5. P. 791-805.
- [5] Горошков Б.И. Радиоэлектронные устройства: Справочник. М.: Радио и связь, 1985. 400 с.

Поступило в Редакцию  
5 сентября 1989 г.

Письма в ЖТФ, том 15, вып. 23            12 декабря 1989 г.

## 06.2

### РАСПРЕДЕЛЕНИЕ РАДИАЦИОННЫХ ДЕФЕКТОВ В ПЛЕНКАХ $PbSe$ ПРИ АЛЬФА-ОБЛУЧЕНИИ

Д.М. Фрейк, Я.П. Салий,  
А.Д. Фрейк, Р.И. Собкович

1. Облучение полупроводниковых материалов заряженными частицами высоких энергий приводит к контролируемому изменению их физических свойств [1, 2]. Поэтому изучение профилей распределения радиационных дефектов является практически важной задачей.

В настоящей работе впервые изучено распределение радиационных дефектов при альфа-облучении по определению дозовой зависимости полного сопротивления пленок  $PbSe$  различной толщины.

Образцы для исследования выращивали методом горячей стенки в вакууме  $10^{-4}$  Па на монокристаллических подложках из  $BaF_2$ , сколотых по плоскости (111) [3]. Скорость роста пленок составляла  $\sim 3$  мм/с, а их толщины 2-15 мкм. При получении пленок выдерживались следующие температурные режимы: температура подложки  $T_p = 590-600$  К, стенок испарительной камеры  $T_c = 850-870$  К, реактора для испарения  $T_r = 820-840$  К. Полученные пленки имели  $p$ -тип проводимости с исходной концентрацией носителей заряда  $3 - 7 \cdot 10^{17} \text{ см}^{-3}$ . Образцы облучались несфокусированным потоком альфа-частиц энергией 5.5 МэВ от источника  $Ru^{239}$  на карусельной установке при комнатной температуре. Плотность потока частиц составляла  $5 \cdot 10^7 \text{ см}^{-2} \cdot \text{с}^{-1}$ , а дозы облучения доводились до значений  $1.3 \cdot 10^{12} \text{ см}^{-2}$ . Электрические параметры пленок различной толщины измерялись в постоянных электрических